

Jan ZAMOROWSKI

MODEL KONTYNUALNO-DYSKRETNY W ZASTOSOWANIU
DO OSIOWO-SYMETRYCZNYCH TRÓJKIERUNKOWYCH SIATEK CIĘGNOWYCH
- CZYNNIK GEOMETRYCZNIE NIELINIOWY

Streszczenie. W pracy przedstawiono drugi etap rozwiązania osiowo-symetrycznych trój kierunkowych siatek ciągnowych, w którym określa się wpływ czynnika geometrycznie nieliniowego na wartości dodatkowych sił w ciągnach. Zastosowanie modelu kontynuualno-dyskretnego pozwoliło sprowadzić rozwiązanie do układu przemieszczeniowych równań równowagi niezależnych od kąta środkowego β , które zapisuje się tylko w węzłach leżących na dwóch sąsiednich południkach.

1. WSTĘP

W referacie [1] przedstawiono metodę obliczeń osiowo-symetrycznych trój kierunkowych siatek ciągnowych, z zastosowaniem kontynuualno-dyskretnego modelu obliczeniowego w ujęciu liniowym. Zaproponowane tam rozwiązanie jest wystarczająco dokładne przy łagodnych zmianach konfiguracji siatki spowodowanych obciążeniami normowymi. Natomiast w przypadku przeszczeń normalnych o dużej zmienności w obszarze brzegu siatki - wywołanych np. górniczą deformacją terenu - należy dodatkowo uwzględnić w tym obszarze wpływ czynnika geometrycznie nieliniowego [2]. Pełne rozwiązanie takiego układu można podzielić na dwa etapy. W pierwszym z nich siatkę oblicza się w ujęciu liniowym, jak np. w [1], a w drugim określa się dodatkowe siły w ciągnach wynikające ze zmiany konfiguracji siatki, wywołanej przemieszczeniami normalnymi jej dolnego brzegu. W niniejszej pracy przedstawiono drugi etap rozwiązania.

2. RÓWNANIA RÓWNOWAGI

Równania równowagi dla dowolnego węzła siatki uzyskuje się, podobnie jak w [1], z zasady prac przygotowanych dla wirtualnego stanu przeszczeń:

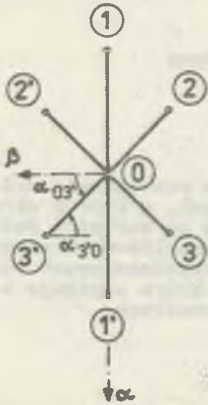
$$\delta W_0 - \delta L_0 = 0$$

(1)

gdzie: $\delta W_o = \sum_j (s_{oj}^o + s_{oj}) \delta \Delta l_{oj}$ - przyrost pracy sił wewnętrznych, a

s_{oj}^o - siły stanu pierwotnego (wyznaczone w pierwszym etapie rozwiązania),

s_{oj} - siły dodatkowe oraz $j = 1+6$ (patrz rys. 1).



Rys. 1. Węzeł centralny

Zapisując wyrażenie na odkształcenia cięgien jak w [1]:

$$\epsilon_{oj} = \bar{\epsilon}_{oj} + \tilde{\epsilon}_{oj}, \tag{2}$$

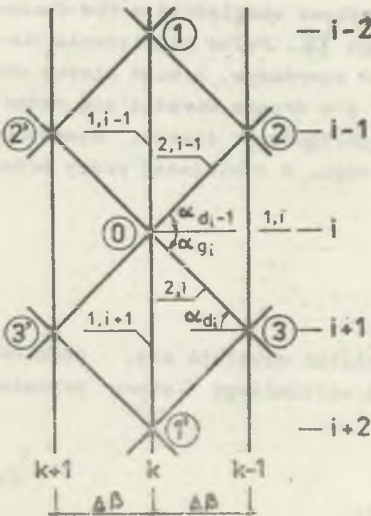
gdzie:

$$\begin{aligned} \bar{\epsilon} = & \frac{1}{E_{oj}} (\sin \alpha_{jo} u_j - \sin \alpha_{oj} u_o + \cos \alpha_{jo} v_j - \cos \alpha_{oj} v_o) - \\ & - \frac{1}{2R_{oj}} (w_o + w_j), \end{aligned} \tag{2a}$$

$$\tilde{\epsilon}_{oj} = \frac{1}{2l_{oj}^2} (w_j - w_o)^2, \tag{2b}$$

oraz podstawiając $\delta \Delta l_{oj} = l_{oj} \delta \epsilon_{oj}$, otrzymuje się:

$$\sum_j s_{oj}^o l_{oj} \delta \bar{\epsilon}_{oj} - \delta L_o + \sum_j s_{oj}^o l_{oj} \delta \tilde{\epsilon}_{oj} + \sum_j s_{oj} l_{oj} (\delta \bar{\epsilon}_{oj} + \delta \tilde{\epsilon}_{oj}) = 0. \tag{3}$$



Rys. 2. Oznaczenia cięgien i węzłów

Uwzględniając, że zgodnie z rozwiązaniem w [1] $\sum_j s_{oj}^o l_{oj} \delta \bar{\epsilon}_{oj} - \delta L_o = 0$ oraz przyjmując w ostatnim składniku (3) $\tilde{\epsilon}_{oj} = 0$ (co prowadzi przy przemieszczeniach normalnych brzegu siatki rzędu $r/100$, do kilkuprocentowych różnic w wartościach dodatkowych sił - [2]), z równania (3) uzyskano następujące równania równowagi:

$$\begin{aligned} \sum_j s_{oj} \sin \alpha_{oj} &= 0 \\ \sum_j s_{oj} \cos \alpha_{oj} &= 0 \end{aligned} \tag{4}$$

$$\sum_j s_{oj}^o \frac{w_1 - w_o}{l_{oj}} + \sum_j s_{oj} \frac{l_{oj}}{2R_{oj}} = 0$$

W dwóch pierwszych równaniach powyższego układu występują wtedy tylko siły dodatkowe obliczane wg wzoru:

$$S_{0j} = EF_{0j} \bar{E}_{0j} \quad (5)$$

W trzecim zaś obok sił S_{0j} występują również siły stanu pierwotnego obliczane wg wzorów (9) w [1].

W zasadzie można by było równania (4) zapisać dla wszystkich węzłów siatki, znajdujących się w obszarze wpływu zaburzenia brzegowego, z uwzględnieniem wartości sił początkowych w każdym cięgnię, lecz wtedy otrzymuje się układ kilku do kilkunastu tysięcy równań z szeroką macierzą pasmową współczynników, czasochłonny w rozwiązaniach na EMC.

Z tego względu zaproponowano inny sposób postępowania polegający na wyznaczaniu amplitud dodatkowych przemieszczeń odpowiadających węzłom siatki leżącym na dwóch sąsiednich południkach: głównym k i pośrednim $k-1$ (rys. 2).

3. PRZEMIESZCZENIOWE RÓWNANIA ZABURZENIA BRZEGOWEGO

Wprowadzając do wyrażeń na odkształcenia cięgien składowe przemieszczeń węzłów siatki w postaci szeregów trygonometrycznych kąta środkowego β : $u_1 = \sum u_{n1} \cos n\beta$, $v_1 = \sum v_{n1} \sin n\beta$, $w_1 = \sum w_{n1} \cos n\beta$, otrzymuje się z (5) i (2a) następujące wzory na dodatkowe siły w cięgniach:

$$\begin{aligned} S_{01} &= \sum_n S_{n1-1} \cos n\beta_k \\ S_{01}' &= \sum_n S_{n1+1} \cos n\beta_k \\ S_{02} &= \sum_n K'_{n1-1} \cos n\beta_k + \sum_n K''_{n1-1} \sin n\beta_k \\ S_{02}' &= \sum_n K'_{n1-1} \cos n\beta_k - \sum_n K''_{n1-1} \sin n\beta_k \\ S_{03} &= \sum_n K'_{n1} \cos n\beta_k - \sum_n K''_{n1} \sin n\beta_k \\ S_{03}' &= \sum_n K'_{n1} \cos n\beta_k + \sum_n K''_{n1} \sin n\beta_k \end{aligned} \quad (6)$$

Występujące tu amplitudy sił określone są analogicznymi wyrażeniami do (10) w [1] z uwzględnieniem zmiany wakaźnika harmonicznego z a na n .

Podstawiając do (4) siły stanu pierwotnego (9) wg [1] oraz siły dodatkowe (5), z ich amplitudami jak wyżej, uzyskano dla dowolnego węzła siatki przemieszczeniowe równania zaburzenia brzegowego:

$$\begin{aligned} \sum_n \left[\frac{F_1}{I_{11-1}} u_{n1-2} + \frac{F_1}{2R_{11-1}} w_{n1-2} + \frac{2F_2}{I_{21-1}} \sin\alpha_{d1-1} \sin\alpha_{g1-1} u_{n1-1} - \right. \\ \left. \frac{2F_2}{I_{21-1}} n\Delta\beta \sin\alpha_{d1-1} \cos\alpha_{g1-1} v_{n1-1} + \frac{F_2}{R_{21-1}} \sin\alpha_{d1-1} w_{n1-1} - \right. \\ \left. \left(\frac{F_1}{I_{11-1}} + \frac{F_1}{I_{11+1}} + \frac{2F_2}{I_{21-1}} \sin^2\alpha_{d1-1} + \frac{2F_2}{I_{21}} \sin^2\alpha_{g1} \right) u_{n1} + \right. \\ \left. \left(\frac{F_1}{2R_{11-1}} - \frac{F_1}{2R_{11+1}} + \frac{F_2}{R_{21-1}} \sin\alpha_{d1-1} - \frac{F_2}{R_{21}} \sin\alpha_{g1} \right) w_{n1} + \right. \\ \left. \frac{2F_2}{I_{21}} \sin\alpha_{g1} \sin\alpha_{d1} u_{n1+1} + \frac{2F_2}{I_{21}} n\Delta\beta \sin\alpha_{g1} \cos\alpha_{d1} v_{n1+1} - \right. \\ \left. \left. \frac{F_2}{R_{21}} \sin\alpha_{g1} w_{n1+1} + \frac{F_1}{I_{11+1}} u_{n1+2} - \frac{F_1}{2R_{11+1}} w_{n1+2} \right] \cos\beta_k = 0 \end{aligned} \quad (7a)$$

$$\begin{aligned} \sum_n \left[\frac{2F_2}{I_{21-1}} n\Delta\beta \sin\alpha_{g1-1} \cos\alpha_{d1-1} u_{n1-1} + \frac{2F_2}{I_{21-1}} \cos\alpha_{d1-1} \cdot \right. \\ \left. \cos\alpha_{g1-1} v_{n1-1} + \frac{F_2}{R_{21-1}} n\Delta\beta \cos\alpha_{d1-1} w_{n1-1} - \right. \\ \left. 2 \left(\frac{F_2}{I_{21-1}} \cos^2\alpha_{d1-1} + \frac{F_2}{I_{21}} \cos^2\alpha_{g1} \right) v_{n1} - \frac{2F_2}{I_{21}} n\Delta\beta \sin\alpha_{d1} \cdot \right. \\ \left. \cos\alpha_{g1} u_{n1+1} + \frac{2F_2}{I_{21}} \cos\alpha_{g1} \cos\alpha_{d1} v_{n1+1} + \right. \\ \left. \left. \frac{F_2}{R_{21}} n\Delta\beta \cos\alpha_{g1} w_{n1+1} \right] \sin\beta_k = 0 \end{aligned} \quad (7b)$$

$$\begin{aligned} \sum_n \left[-\frac{F_1}{2R_{11-1}} u_{n1-2} - \frac{F_1}{4R_{11-1}^2} w_{n1-2} - \frac{F_2}{R_{21-1}} \sin\alpha_{g1-1} u_{n1-1} + \right. \\ \left. \frac{F_2}{R_{21-1}} n\Delta\beta \cos\alpha_{g1-1} v_{n1-1} - \frac{F_2}{2R_{21-1}} w_{n1-1} + \right. \end{aligned}$$

$$\begin{aligned}
 & \left(\frac{F_1}{2R_{11-1}} - \frac{F_1}{2R_{11+1}} + \frac{F_2}{R_{21-1}} \sin \alpha_{d1-1} - \frac{F_2}{R_{21}} \sin \alpha_{y1} \right) u_{n1} - \\
 & \left(\frac{F_1}{4R_{11-1}^2} + \frac{F_1}{4R_{11+1}^2} + \frac{F_2}{2R_{21-1}^2} + \frac{F_2}{2R_{21}^2} \right) w_{n1} + \\
 & \frac{F_2}{R_{21}} \sin \alpha_{d1} u_{n1+1} + \frac{F_2}{R_{21}} n \Delta \beta \cos \alpha_{d1} v_{n1+1} - \frac{F_2}{2R_{21}^2} w_{n1+1} + \\
 & \left. \frac{F_1}{2R_{11+1}} u_{n1+2} - \frac{F_1}{4R_{11+1}^2} w_{n1+2} \right] \cos n \Delta \beta_k + \\
 \sum_m \sum_n & \left[\frac{S_{m1-1}}{I_{11-1}} w_{n1-2} + 2 \frac{K'_{m1-1}}{I_{21-1}} w_{n1-1} - \left(\frac{S_{m1-1}}{I_{11-1}} + \frac{S_{m1+1}}{I_{11+1}} + 2 \frac{K'_{m1-1}}{I_{21-1}} + \right. \right. \\
 & \left. \left. 2 \frac{K'_{m1}}{I_{21}} w_{n1} + 2 \frac{K'_{m1}}{I_{21}} w_{n1+1} + \frac{S_{m1+1}}{I_{11+1}} w_{n1+2} \right) \cos m \Delta \beta_k \cos n \Delta \beta_k + \right. \\
 \sum_m \sum_n & \left. \left[2n \Delta \beta \left(\frac{K''_{m1-1}}{I_{21-1}} w_{n1-1} - \frac{K''_{m1}}{I_{21}} w_{n1+1} \right) \sin m \Delta \beta_k \sin n \Delta \beta_k = 0 \right. \right.
 \end{aligned}
 \tag{7c}$$

W dalszych wzorach w miejsce bieżących wskaźników m (dla składników harmonicznych amplitud sił stanu pierwotnego) i n (dla składników harmonicznych dodatkowych przemieszczeń) wprowadzono odpowiednio wskaźniki x, y , zachowując m i n dla oznaczeń najwyższych wyrazów.

Równaniom (7) można wówczas nadać następującą zwięźłą postać:

$$\sum_{y=0}^n F_{1y}(u_y, v_y, w_y) \cos y \beta_k = 0 \tag{8a}$$

$$\sum_{y=0}^n F_{2y}(u_y, v_y, w_y) \sin y \beta_k = 0 \tag{8b}$$

$$\begin{aligned}
 \sum_{y=0}^n F_{3y}(u_y, v_y, w_y) \sin y \beta_k + \sum_{x=C}^m \sum_{y=0}^n F'_{3xy}(S_x^0, w_y) \cos x \beta_k \cos y \beta_k + \\
 + \sum_{x=0}^m \sum_{y=0}^n F''_{3xy}(S_x^0, w_y) \sin x \beta_k \sin y \beta_k = 0 \tag{8c}
 \end{aligned}$$

Z dwóch pierwszych równań powyższego układu wynikają bezpośrednio, dla dowolnego y , niezależne równania od kąta środkowego β :

$$F_{1y}(u_y, v_y, w_y) = 0 \quad (9a)$$

$$F_{2y}(u_y, v_y, w_y) = 0 \quad (9b)$$

Uwzględniając w (8c) zależności:

$$\cos x \beta_k \cos y \beta_k = \frac{1}{2} \cos(x-y)\beta_k + \frac{1}{2} \cos(x+y)\beta_k$$

$$\sin x \beta_k \sin y \beta_k = \frac{1}{2} \cos(x-y)\beta_k - \frac{1}{2} \cos(x+y)\beta_k$$

otrzymuje się w wyniku równanie:

$$\begin{aligned} \sum_{y=0}^n F_{3y} \cos y \beta_k + \sum_{x=0}^m \sum_{y=0}^n \frac{1}{2} (F'_{3xy} + F''_{3xy}) \cos(x-y)\beta_k + \\ + \sum_{x=0}^m \sum_{y=0}^n \frac{1}{2} (F'_{3xy} - F''_{3xy}) \cos(x+y)\beta_k = 0 \end{aligned}$$

któremu można nadać następującą postać:

$$\sum_1 F_1 \cos l \beta_k = 0 \quad \text{dla } l \in (0, 1, \dots, m+n) \quad (10)$$

gdzie:

$$F_0 = F_{30} + F'_{300} + \frac{1}{2} \sum_{x=0}^m (F'_{3xx} + F''_{3xx}) \quad (11a)$$

oraz dla $l > 1$:

$$\begin{aligned} F_1 = F_{31} + \frac{1}{2} \sum_{x=0}^m (F'_{3,x,x-1} + F''_{3,x,x-1} + F'_{3,x,x+1} + \\ + F''_{3,x,x+1} + F'_{3,x,1-x} - F''_{3,x,1-x}) \end{aligned} \quad (11b)$$

Ostatecznie rozwiązanie sprowadza się do układu równań, w którym γ -owym amplitudom składowych przemieszczeń dowolnego węzła siatki dwóch sąsiednich południków przyporządkowane są trzy równania. Dwa pierwsze to (9a) i (9b), a trzecie, niezależne również od kąta środkowego β , otrzymuje się z (10) dla $l = \gamma$:

$$\bar{F}_1 = 0, \text{ gdzie } l \in (0, 1, \dots, m+n) \quad (12)$$

W równaniu tym oprócz amplitud $u_\gamma, v_\gamma, w_\gamma$ występują również, jak to bezpośrednio wynika z (11b), amplitudy $u_{x-\gamma}, v_{x-\gamma}, w_{x-\gamma}$ oraz $u_{x+\gamma}, v_{x+\gamma}, w_{x+\gamma}$.

W sumie dla każdego węzła siatki zapisuje się 3 ($n+1$) równań, a nadliczbowe równania (12) (dla $n < l \leq m+n$) przy zadanej dokładności obliczeń mogą być pominięte. Minimalną wartość wskaźnika n można ustalić na podstawie analizy zbieżności wyników uzyskanych dla kolejnych jego wartości, natomiast wartość wskaźnika m wynika z rozwiązania stanu pierwotnego.

4. ZAKOŃCZENIE

W przypadku gdy uzyska się wystarczającą zbieżność wyników przy umiarkowanych wartościach n (np. $n \approx 2m$) przedstawione rozwiązanie (wg równań (9) i (12)) będzie znacznie efektywniejsze od rozwiązania z dyskretnym modelem obliczeniowym - równania (4). Może ono posłużyć do oceny czynnika nieliniowego zarówno w przypadku bardziej złożonych stanów pierwotnych odpowiadających obciążeniom normowym (przy siatce usztywnionej pierścieniami), jak i towarzyszącym tym stanom dodatkowych przemieszczeń dolnego brzegu siatki ciągnowej wymuszanych np. górniczą deformacją terenu.

LITERATURA

- [1] Niewiadomecki J., Zamorowski J.: Model kontynuwnalno-dyskretny w zastosowaniu do osiowo-symetrycznych trójkierunkowych siatek ciągnowych. VII Międzynarodowa Konferencja Naukowo-Techniczna Konstrukcje Metalowe, Gdańsk 1984, t. 1, ss. 85-92.
- [2] Zamorowski J.: Analiza statyczna chłodni ciągnowej jako układu kontynuwnalno-dyskretnego, Praca doktorska, Politechnika Śląska 1982.

КОНТИНУАЛЬНО-ДИСКРЕТНАЯ МОДЕЛЬ ИСПОЛЬЗОВАННАЯ ДЛЯ СИММЕТРИЧЕСКИХ
ПО ОСИ ВАНТОВЫХ СЕТОК С ТРЕУГОЛЬНЫМИ ЯЧЕЙКАМИ
- ФАКТОР ГЕОМЕТРИЧНО НЕЛИНЕЙНЫЙ

Р е з ю м е

В работе представлен второй этап решения симметрических по оси вантовых сеток с треугольными ячейками, в котором определяется влияние фактора геометрично нелинейного на значения дополнительных сил в вантах. Применение континуально-дискретной модели позволило свести решение к системе уравнений смещений равновесия узлов только двух соседних меридианов.

CONTINUAL - DISCRETE MODEL IN AXIALLY-SYMETRIC THREE-WAY
TENSIONED NETWORKS - GEOMETRICALLY NONLINEAR APPROACH

S u m m a r y

In the paper the second stage of solution of the axial-symmetric three-way tensioned networks is presented. In this solution the influence of geometrically nonlinear factor on value of additional forces in tension members is determined.

Application of continual-discrete model allows to reduce the solution to a system of displacement equations of equilibrium independent of central angle β , which are noted only in knots placed on two neighbouring meridians.